# Модель бокового патрубка пожарного трехходового разветвления для определения его коэффициента гидравлического сопротивления

C.O.  $Kypmoв^1$ ,  $B.\Pi.$   $Mалый^1$ , Я.В.  $\Gamma peбнев^2$ ,  $A.Ю.Трояк.^1$ 

<sup>1</sup>Сибирская пожарно-спасательная академия, Железногорск <sup>2</sup>Сибирский федеральный университет, Красноярск

Аннотация: В статье разработана аналитическая гидравлическая модель бокового патрубка трехходового пожарного разветвления с номинальным (условным) диаметром DN80. Модель основана на поэлементном расчете местных гидравлических сопротивлений, возникающих на участках с изменением геометрии потока: четырех поворотах (три под  $45^{\circ}$  и один под  $90^{\circ}$ ), прямоточном вентиле, а также участках внезапного расширения и сужения. Вклад линейных потерь напора, как и в случае с центральным патрубком, был принят незначительным (6% от местных потерь), что подтверждает доминирующую роль местных сопротивлений в общей потере напора. Достоверность модели проверена путем сравнения с данными экспериментальных исследований по определению гидравлических сопротивлений каждого патрубка трехходового разветвления. Расхождение между теоретически рассчитанным значением потерь напора (6,86 м) и экспериментальным (6,97 м) составило всего 1,6 %. Ключевым результатом работы является расчет общего коэффициента местных сопротивлений бокового патрубка пожарного разветвления, который составил  $\zeta = 3,4$ .

**Ключевые слова:** модель, пожарное трехходовое разветвление, гидравлическое сопротивление, напор, давление, расход.

### Введение

Подача огнетушащих веществ от передвижной пожарной техники попрежнему осуществляется преимущественно по напорным пожарным рукавам [1]. Значительный объем мировых исследований посвящен потерям напора в пожарных рукавах [2, 3], тогда как гидравлическим потерям в других элементах насосно-рукавных систем уделено заметно меньше внимания [4-6].

Для одновременной подачи нескольких приборов тушения от одной магистральной линии применяются трехходовые пожарные разветвления (далее – РТ). Коэффициенты гидравлического сопротивления РТ напрямую влияют на потери напора в насосно-рукавной системе, что необходимо учитывать для эффективной подачи воды при тушении пожара. В работе [7] представлена модель центрального патрубка РТ, предназначенная для

аналитического расчета его коэффициента гидравлического сопротивления и оценки потерь напора в нем при различных значениях расхода воды.

Целью данной работы является разработка и верификация гидравлической модели бокового патрубка (далее – БП) РТ на основе экспериментальных данных по определению его гидравлического сопротивления [5].

В соответствии с теорией гидродинамики, полная потеря напора в БП РТ-80 складывается из двух составляющих [8, 9]:

- 1. Линейные потери, связанные с преодолением сил трения соседних слоёв жидкости и трения о шероховатую внутреннюю поверхность устройства;
- 2. Местные потери, обусловленные преодолением локальных гидравлических сопротивлений в местах изменения геометрии и направления потока, таких как отводы, внезапные сужения и расширения, а также элементы запорной арматуры.

Аналитический расчет гидравлической модели [7] показал, что вклад линейных потерь напора в центральном патрубке РТ не превышает 6%, вследствие чего основными в боковом патрубке являются местные потери, обусловленные наличием отводов, расширений, сужений и прямоточного вентиля.

Для визуального восприятия на рис.1. представлен первый участок гидравлической модели БП РТ-80 с основными геометрическими параметрами и углом отклонения (45°) потока жидкости для определения коэффициента местного гидравлического сопротивления на представленном участке.

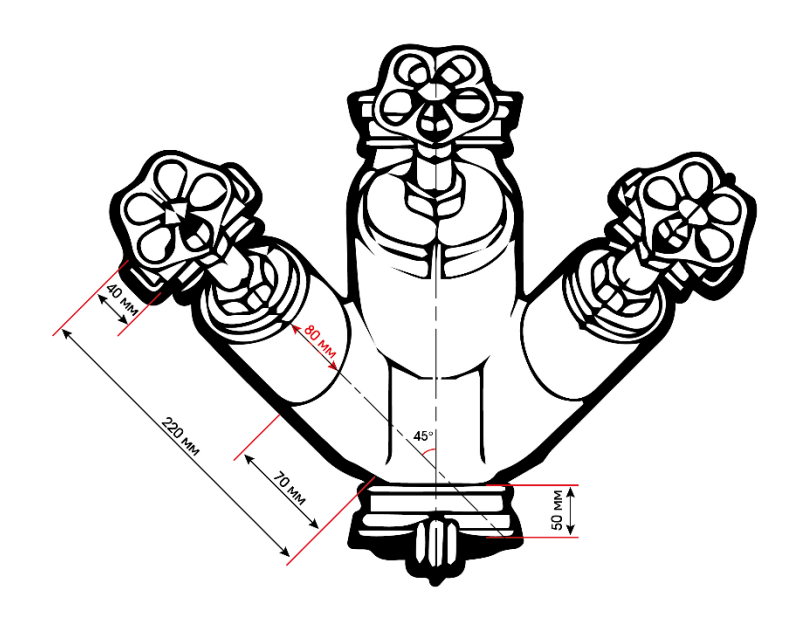


Рис. 1. — Первый участок гидравлической модели БП РТ-80 с основными геометрическими параметрами и углом отклонения потока жидкости

Далее представлена гидравлическая модель второго участка БП РТ-80 (рис.2) в виде трех колен с указанием изменений направлений движения жидкости в полости (в градусах), а также геометрические размеры других частей рассматриваемого пожарного оборудования.

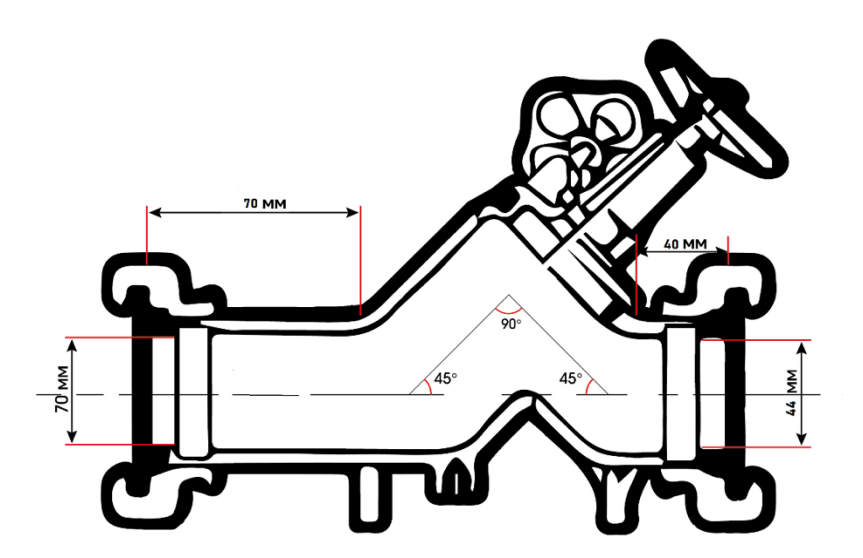


Рис. 2. – Второй участок гидравлической модели БП РТ-80 с указанием основных геометрических размеров и углов изменения направления потока жидкости (в градусах)

Конфигурация полости БП РТ, представленная на рис. 1 и 2, обуславливает четыре поворота потока жидкости, из которых три имеют угол 45° и один – 90°. При этом расчеты подтверждают, что в таких системах при подаче воды от пожарной техники устанавливается развитый турбулентный режим течения [7].

Коэффициенты местного сопротивления колен  $\zeta_{\text{колена}}$ , загнутых на 45° и 90°, для турбулентного режима течения жидкости были определены на основе данных таблицы 1 [7, 10].

Таблица № 1

Градусы	30	40	50	60	70	80	90
ζ <sub>колена</sub>	0,20	0,30	0,40	0,55	0,70	0,90	1,10

$$\zeta_{\text{колена}}^{\text{Табл.1}}(45^{\circ}) \cong 0,35;$$
 $\zeta_{\text{колена}}^{\text{Табл.1}}(90^{\circ}) \cong 1,10.$ 

Суммарный коэффициент местных сопротивлений, состоящий из трёх колен под 45° и одного под 90°, соединённых последовательно, был рассчитан как арифметическая сумма их коэффициентов:

$$_{\text{сумма}}^{\text{Табл.1}}\zeta_{_{\text{колена}}} = 3 \times 0.35 + 1.10 = 2.15.$$

Для турбулентного режима течения коэффициент местного сопротивления прямоточного вентиля DN 40 БП РТ  $\zeta_{\rm вентиля}^{\rm Табл.2}$  был определен по данным таблицы 2 с использованием метода линейной интерполяции [7].

Таблица № 2

DN	25	38	50	65	76	100	150
$\zeta_{ m вентиля}$	1,04	0,85	0,79	0,65	0,60	0,50	0,42

$$_{
m Taбл.2}^{
m DN40}$$
  $\zeta_{
m Behtruns}=0.84.$ 

Коэффициент местного сопротивления  $\zeta_{\rm BP}$ , обусловленный внезапным расширением потока при переходе из муфтовой головки диаметром 70 мм (рис.2) в общую полость перед распределением по трем патрубкам, определили по следующей формуле [10, стр. 168]:

$$\zeta_{\rm BP} = \left(1 - \frac{\omega_1}{\omega_2}\right)^2 = \left(1 - \frac{0,00385}{0,00503}\right)^2 = 0,055,$$

 $\omega_1$  – площадь живого сечения потока жидкости муфтовой головки (рис.2) диаметром 70 мм, м<sup>2</sup>;

 $\omega_2$  – площадь живого сечения потока жидкости в общей полости РТ-80 (полость перед дальнейшим распределением потока жидкости по трем патрубкам, принимаем диаметром 80 мм), м<sup>2</sup>.

Коэффициент местного сопротивления  $\zeta_{BC}$ , возникающего в результате внезапного сужения полости БП, определили по следующей формуле [10, стр. 168]:

$$\zeta_{\rm BC} = 0.5 \times \left(1 - \frac{\omega_2}{\omega_1}\right) = 0.5 \times \left(1 - \frac{0.00196}{0.00503}\right) = 0.31,$$

 $\omega_1$  – площадь живого сечения потока жидкости в общей полости РТ-80 (полость перед дальнейшим распределением потока жидкости по трем патрубкам, принимаем диаметром 80 мм), м<sup>2</sup>;

 $\omega_2$  – площадь живого сечения потока жидкости в полости бокового патрубка РТ-80 (принимаем диаметром 50 мм, рис.2), м².

Суммарный коэффициент местных сопротивлений, учитывающий четыре колена, прямоточный вентиль, а также участки с резким расширением и сужением, был определен как сумма соответствующих коэффициентов:

$$_{\text{сумма}}^{\text{мест}}\zeta_{\text{общ}} = {}^{\text{Табл.1}}_{\text{сумма}}\zeta_{\text{колен}} + {}^{\text{DN40}}_{\text{Табл.2}}\zeta_{\text{вентиля}} + \zeta_{\text{BP}} + \zeta_{\text{BC}};$$

$$_{\text{сумма}}^{\text{мест}}\zeta_{\text{общ}}=2,\!15+0,\!84+0,\!055+0,\!31=3,\!36.$$

Далее рассчитали значения средней по поперечному сечению скорости воды на каждом рассматриваемом участке сложной гидравлической системы:

1. Участок с внезапным расширением:

$$V^{\rm BP} = \frac{Q}{\omega_{\rm MHH}^{\rm BP}} = \frac{0.0102 \text{ m}^3/\text{c}}{0.00385 \text{ m}^2} = 2.65 \text{ (M/c)}.$$

Q — объемный расход (табличное значение пропускной способности) напорного пожарного рукава диаметром 51 мм, м $^3$ /с;

 $\omega_{\text{мин}}^{\text{ВР}}$  — минимальная площадь сечения потока жидкости на рассматриваемом участке (принимаем диаметр 70 мм) рис.2, м<sup>2</sup>.

2. Участок с внезапным сужением и первым углом поворота в 45°:

$$V^{\text{BC+1 noB}} = \frac{Q}{\omega_{\text{MMH}}^{\text{BC}}} = \frac{0.0102 \text{ m}^3/\text{c}}{0.00196 \text{ m}^2} = 5.2 \text{ (m/c)}.$$

 $\omega_{\text{мин}}^{\text{BC}}$  — минимальная площадь сечения потока жидкости на рассматриваемом участке (принимаем диаметр 50 мм), м<sup>2</sup>.

3. Третий участок содержит два поворота под 45°, один отвод 90° и прямоточный вентиль:

$$V^{\text{Третий}} = \frac{Q}{\omega_{\text{мин}}^{\text{Третий}}} = \frac{0,0102 \text{ м}^3/\text{c}}{0,00159 \text{ м}^2} = 6,42 \text{ (м/c)}.$$

 $\omega_{\text{мин}}^{\text{Третий}}$  – площадь живого сечения в третьем участке БП РТ (принимаем среднее арифметическое значение трех диаметров: (50+40+44)/3=45 мм), м<sup>2</sup>.

Далее определили потери напора в каждом рассмотренном участке в зависимости от коэффициентов местных гидравлических сопротивлений по формуле [10]:

$$h_{\rm BP}^{\rm Mect} = \zeta_{\rm BP} \times \frac{v^{\rm BP^2}}{2g} = 0,055 \times \frac{(2,65)^2}{2\times 9,8150} = 0,020 \; ({\rm M}).$$
 
$$h_{\rm BC,1\ пов}^{\rm Mect} = \zeta_{\rm BC+пов} \times \frac{v^{\rm BC+1\ пов}^2}{2g} = 0,66 \times \frac{(5,2)^2}{2\times 9,8150} = 0,91 \; ({\rm M}).$$
 
$$h_{\rm Tpetu\"{H}}^{\rm Mect} = \zeta_{\rm Tpetu\"{H}} \times \frac{v^{\rm Tpetu\"{H}^2}}{2g} = 2,64 \times \frac{(6,42)^2}{2\times 9,8150} = 5,54 \; ({\rm M}).$$

Общие потери напора от местных сопротивлений в БП РТ рассчитаны как сумма потерь напора на всех участках:

$$h_{
m Oбщие}^{
m мест} = h_{
m BP}^{
m мест} + h_{
m BC,1\ пов}^{
m mect} + h_{
m Tретий}^{
m mect} = 0.02 + 0.91 + 5.54 = 6.47$$
 (м).

К общим потерям напора в результате местных сопротивлений добавим линейные потери (примем 6 % от  $h_{\rm O6mue}^{\rm Mect}$  [7]).

$$h_{\text{лин}} = 6.47 \times 0.06 = 0.39 \text{ (M)}.$$

Общие потери напора по разработанной авторами модели БП РТ-80 составили:

$$h_{
m Oбщие}^{
m B\Pi} = h_{
m Oбщие}^{
m мест} + h_{
m лин} = 6,47 + 0,39 = 6,86$$
 (м).

Общие потери напора в боковом патрубке PT-80 рассчитали по формуле для насосно-рукавных систем при турбулентном режиме течения на основе экспериментальных значений гидравлического сопротивления  $S_{\rm PT-80}^{\rm E\Pi}$  [5]:

$$\Delta h_{\rm PT}^{\rm 3KC} = S_{\rm PT-80}^{\rm B\Pi} \times Q^2 = 0.067 \times 10.2^2 = 6.97 \, (\rm M).$$

 $S_{\text{PT-80}}^{\text{БП}}$  — среднее значение гидравлического сопротивления бокового патрубка РТ-80, ((c/л)<sup>2</sup> × м), полученных в результате экспериментальных исследований, представленных в работе [5];

Q — объёмный расход огнетушащего вещества, проходящего через рассматриваемый патрубок РТ-80, 10.2~п/c.

Сравнительный анализ показывает, что относительное расхождение между теоретическим  $h_{06\text{щие}}^{\text{БП}}$  и экспериментальным  $\Delta h_{\text{PT}}^{\text{экс}}$  значением потерь напора в боковом патрубке при расходе 10,2 л/с составляет:

$$\delta = \frac{|\Delta h_{\text{PT}}^{\text{9KC}} - h_{\text{OGIIIUE}}^{\text{BII}}|}{(\Delta h_{\text{PT}}^{\text{SKC}} + h_{\text{OGIIIUE}}^{\text{BII}})/2} \times 100\% = \frac{|6,97 - 6,86|}{(6,97 + 6,86)/2} \times 100\% = 1,6\%.$$

Расхождение между теоретически рассчитанным значением потерь напора (6,86 м) и экспериментальным (6,97 м) составило всего 1,6 %. Такое незначительное отклонение свидетельствует о достоверности и адекватности предложенной гидравлической модели.

#### Заключение

- 1. Разработана гидравлическая модель для определения потерь напора в боковом патрубке трехходового пожарного разветвления РТ-80.
- 2. Аналитическим способом получен общий коэффициент местных сопротивлений бокового патрубка РТ-80, который составил  $\frac{\text{мест}}{\text{сумма}} \zeta_{\text{общ}} = 3,4$ .
- 3. Достоверность модели проверена путем сравнения с данными экспериментальных исследований по определению гидравлических сопротивлений каждого патрубка трехходового разветвления. Расхождение между теоретически рассчитанным значением потерь напора (6,86 м) и экспериментальным (6,97 м) составило всего 1,6 %.
- 4. Настоящее исследование, в совокупности с предыдущими работами авторов, завершает создание гидравлической модели трехходового разветвления РТ-80: впервые определены коэффициенты сопротивления для всех его патрубков. Это позволяет перейти к принципиально новому уровню точности тактических расчетов.

## Литература

- 1. Полозов, А. А., Самохвалов ЮП. Определение относительных частот использования пожарного оборудования на пожарах. Пожаровзрывобезопасность. 2006. Т. 15. № 4. С. 62-65.
- 2. Se-Hong M., Yong-Joon K. A study on the friction loss reduction in fire hoses used at a fire scene. Journal of Korean Institute of Fire Science and Engineering. 2013. T. 27. № 3. C. 52-59.
- 3. Benfer M. E., Forssell E., Scheffey J. Determination of fire hose friction loss characteristics. Fire technology. 2017. T. 53. №. 3. C. 1059-1075.
- 4. Куртов С.О. Малый В.П., Макаров В.М. Аналитическое обоснование необходимости экспериментального определения гидравлических сопротивлений пожарных трехходовых разветвлений и

переходных соединительных головок различных диаметров Актуальные проблемы безопасности в техносфере. 2024. № 1. С. 10-13.

- 5. Куртов С.О., Малый В.П. Результаты экспериментальных исследований значений гидравлических сопротивлений патрубков пожарных трехходовых разветвлений. Проблемы управления рисками в техносфере. 2025. № 2. С. 153-162.
- 6. Бубнов В.Б. Разработка рекомендаций по совершенствованию методик расчета насосно-рукавных систем. Пожарная и аварийная безопасность. 2020. № 2. С. 5-10.
- 7. Куртов С.О., Малый В.П. Сравнительный анализ расчетнотеоретических и экспериментальных значений гидравлического сопротивления центрального патрубка пожарного трехходового разветвления Современные проблемы гражданской защиты. 2025. № 1. С. 46-54.
- 8. Ефремова Т.В., Ашмарина Н.Н., Душкин В.В. Исследование потерь давления в сетях газораспределения при установке седловых отводов // Инженерный вестник Дона, 2019. № 1. URL: ivdon.ru/ru/magazine/archive/n1y2019/5497.
- 9. Ефремова Т. В., Соломатин А.В., Шустов Н.А. Исследование потерь давления в стальных и полиэтиленовых фитингах, применяемых в системах газоснабжения // Инженерный вестник Дона, 2022, № 1. URL: ivdon.ru/ru/magazine/archive/n1y2022/7462.
- 10. Абросимов Ю. Г., Жучков В.В., Болдырев Е.Н. и др. Гидравлика: учебник / М.: Академия ГПС МЧС России, 2017. 321 с.

#### References

- 1. Polozov A.A., Samoxvalov Yu.P. Pozharovzry`vobezopasnost`. 2006. V. 15. № 4. pp. 62-65.
- 2. Se-Hong M., Yong-Joon K. Journal of Korean Institute of Fire Science and Engineering. 2013. V. 27. № 3. P. 52-59.

- 3. Benfer M. E., Forssell E., Scheffey J. Fire technology. 2017. V. 53. № 3. pp. 1059-1075.
- 4. Kurtov S.O., Maly V.P., Makarov V.M. Aktual'ny'e problemy' bezopasnosti v texnosfere. 2024. № 1. pp.10-13.
- 5. Kurtov S.O. Maly V.P. Problemy` upravleniya riskami v texnosfere. 2025. № 2(74). pp.153-162.
- 6. Bubnov, V. B. Pozharnaya i avarijnaya bezopasnost`. 2020. № 2(17). pp. 5-10.
- 7. Kurtov S.O., Maly V.P. Sovremenny'e problemy' grazhdanskoj zashhity'. 2025. № 1(54). pp. 46-54.
- 8. Efremova T.V., Ashmarina N.N, Dushkin V.V. Inzhenernyj vestnik Dona, 2019, № 1. URL: ivdon.ru/ru/magazine/archive/ n1y2019/5497.
- 9. Efremova, T.V., Solomatin A.V., Shustov N.A. Inzhenernyj vestnik Dona, 2022, № 1. URL: ivdon.ru/ru/magazine/archive/n1y2022/7462.
- 10. Abrosimov Yu. G., Zhuchkov V.V., Boldy'rev E.N. i dr. Gidravlika [Hydraulics]: uchebnik. M.: Akademiya GPS MChS Rossii, 2017. 321 p.

**Дата поступления: 12.10.2025 Дата публикации: 26.11.2025**